

치과교정학분야에서의 인공지능 기술의 적용

: 치과의사가 덕질로 직접 만든 교정전문 AI

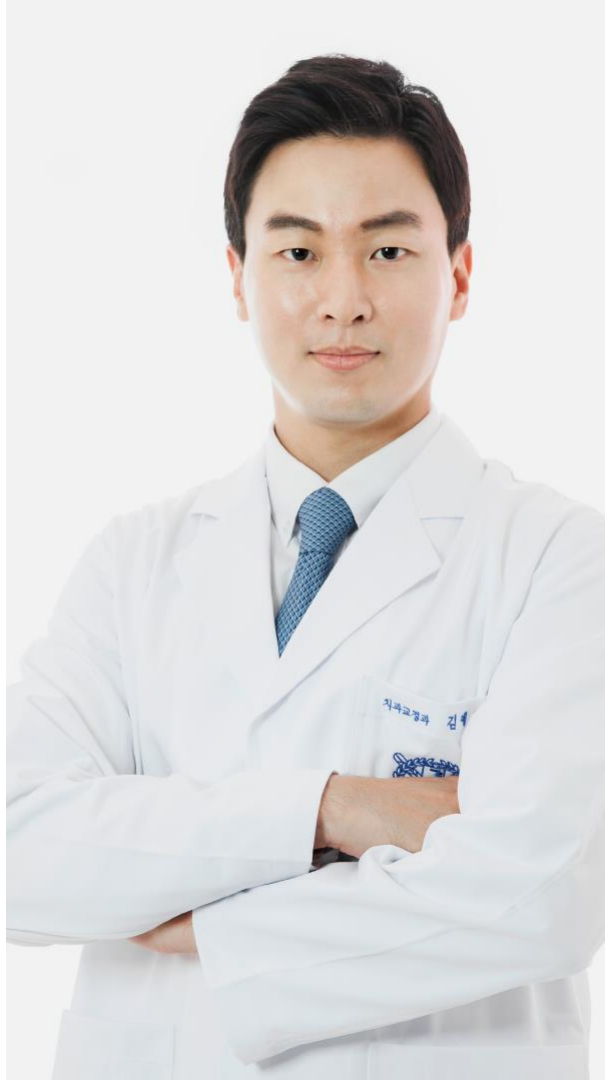
치과교정과 전문의 김예현

치과교정과 전문의

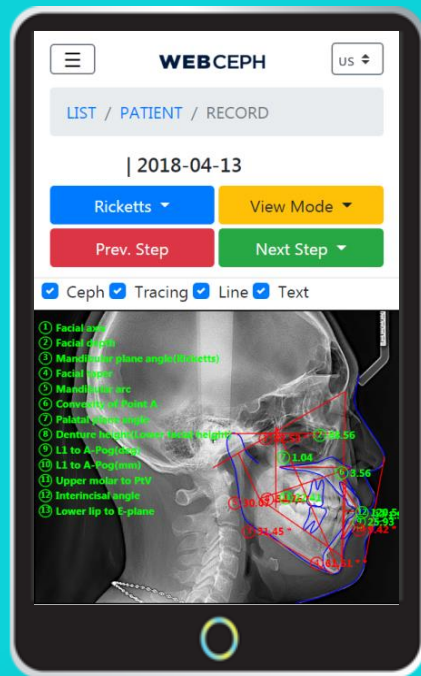
김예현

서울대학교 공과대학 기계항공공학부 학사
서울대학교 치의학대학원 치의학과 석사
서울대학교치과병원 치과교정과 인턴, 레지던트, 펠로우

현) 서울클리어치과교정과 치과의원 대표원장
현) WebCeph™ : 인공지능 교정진단 플랫폼
개발자 및 창업자



WEBCEPH



발표 개요

1

디지털 기술의 도입에 따른 치과교정학의 변화

2

인공지능이 변화시킬 치과교정학

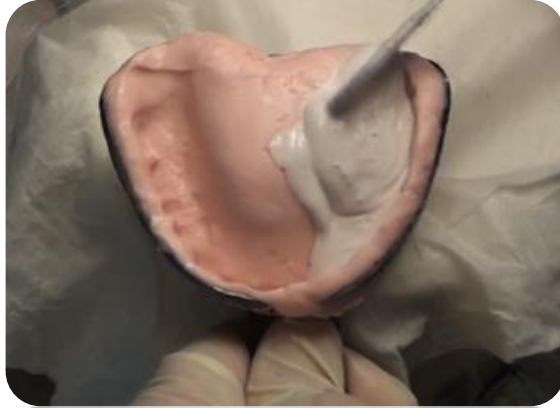
3

치아교정 AI의 개발 스토리

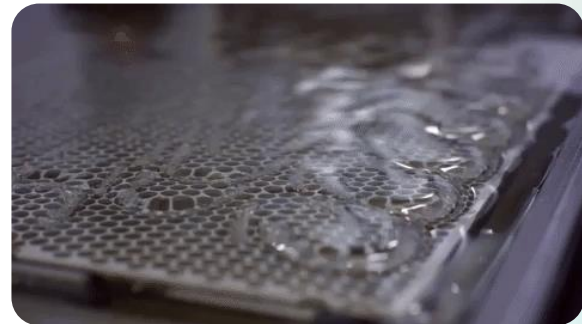
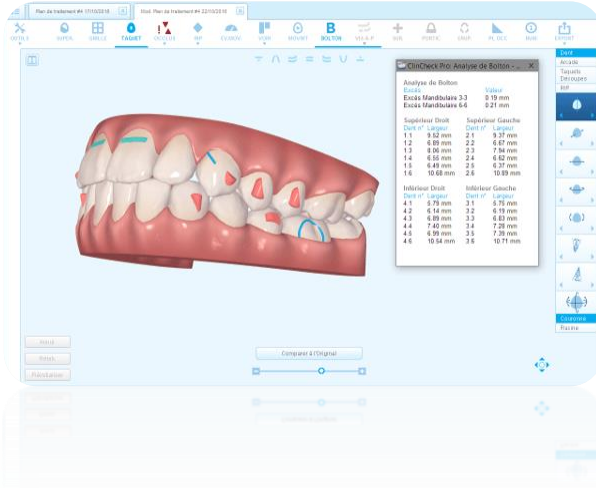
4

앞으로의 비전

과거의 치과교정학



현대의 치과교정학



그리고....

AI

치아 교정의 프로세스

1

환자 내원

2

진단 자료 채득

3

진단 자료 분석, 문제목록

4

치료 계획 수립

5

3차원 구강스캔자료 전송

6

3차원 치아이동 시뮬레이션

7

교정 장치 제작 및 배송

8

교정 치료 시작

진단자료 채득

Orthodontic Patient Examination Chart

서울클리어치과병원

NAME: _____

DATE: _____

AGE: _____ SEX: _____

CLINICAL HISTORY

1. COMPLAINTS

2. MEDICAL HISTORY

3. ORTHODONTIC HISTORY

4. PERMANENT DENTAL RECORD

5. RADIOGRAPHIC RECORD

6. LABORATORY RECORD

7. TREATMENT PLAN

진단기록지

1. 환자 정보

2. 임상력

3. 방사선 사진

4. 치열 사진

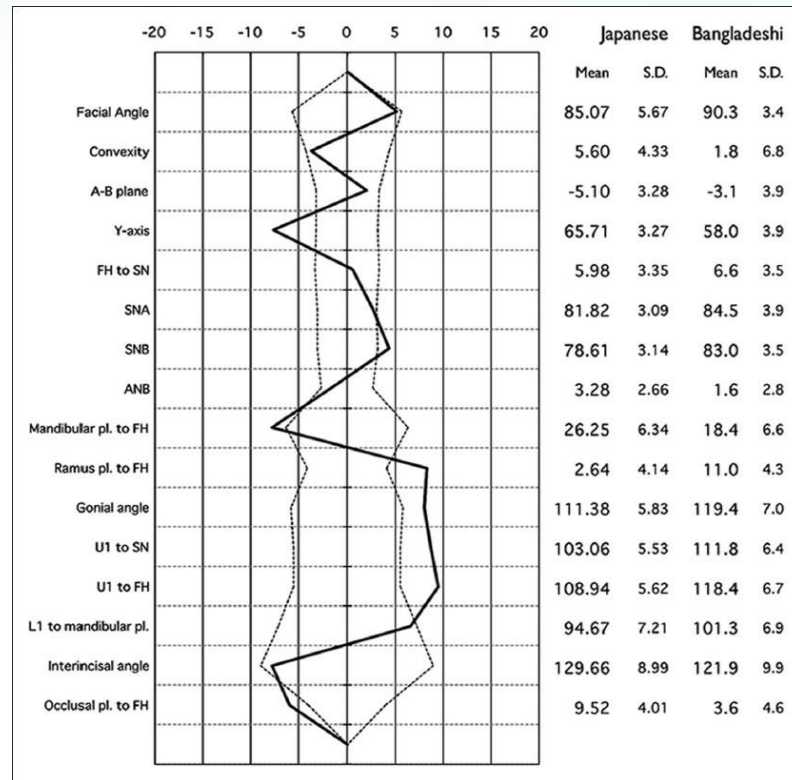
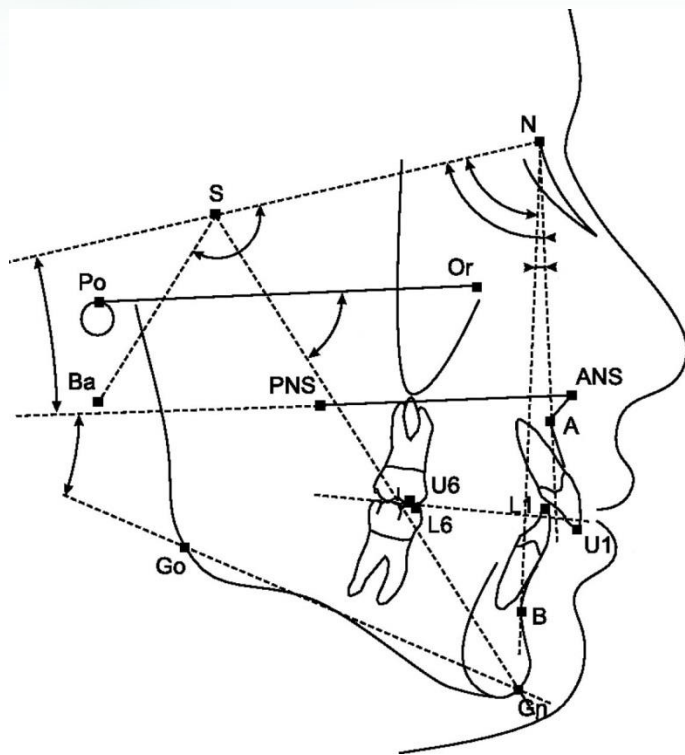
5. 치료 계획



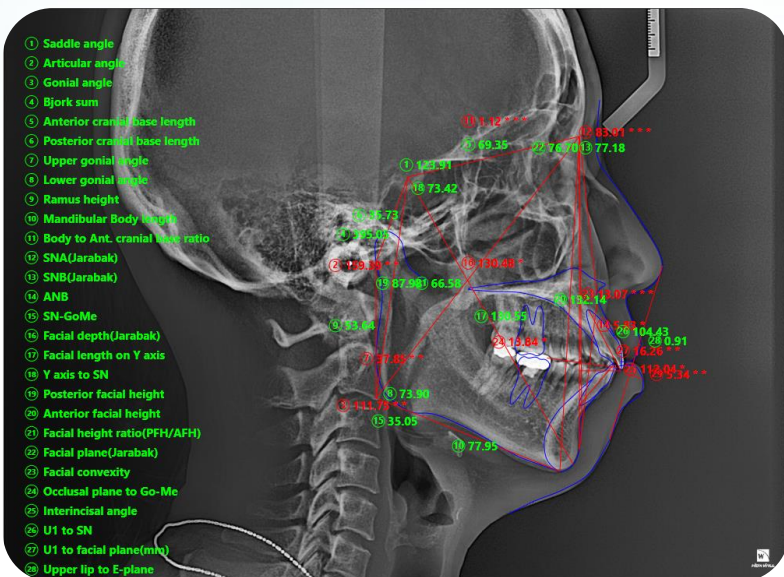
진단 자료 분석 : Cephalometric Analysis



진단 자료 분석 : Cephalometric Analysis



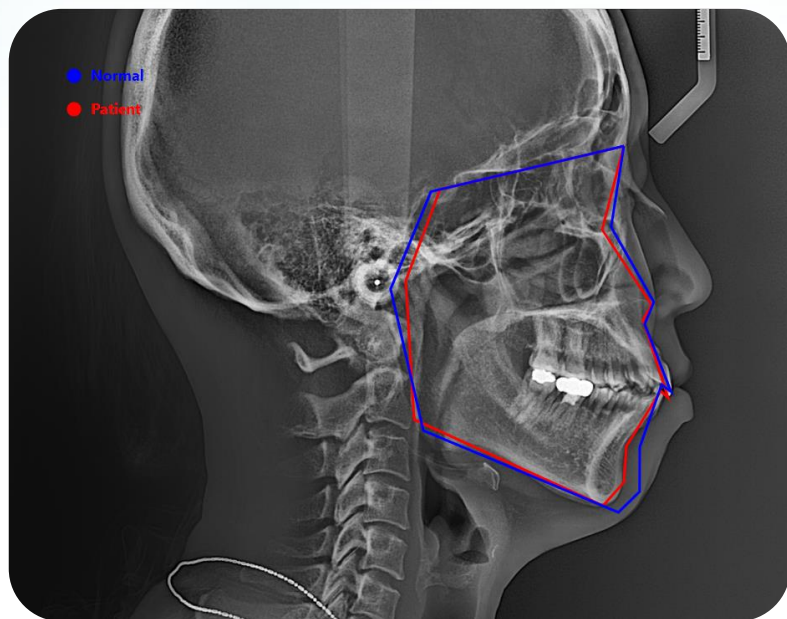
진단 자료 분석 : Cephalometric Analysis



Method I analysis

Measurement	Mean	S.D.	Result	Severity	Polygonal chart	Meaning
Saddle angle	125.45	5.3	123.91		120 125 130 135	Saddle angle within normal range
Articular angle	147.68	5.3	159.39	**	140 145 150 155	Obtuse articular angle, Dolichocephalic facial type
Gonial angle	124.31	5.4	111.75	**	115 120 125 130 135	Acute gonial angle
Bjork sum	397.16	3.6	395.05		390 395 400 405	Normodivergent Skeletal Pattern
Anterior cranial base length	69.35	3.6	69.35		60 65 70 75 80	Normal anterior cranial base length
Posterior cranial base length	37.68	2.7	35.73		30 35 40 45 50	Normal posterior cranial base length
Upper gonial angle	46.2	3.3	37.85	**	35 40 45 50 55	Mandible is growing down and backward.
Lower gonial angle	78.04	4.6	73.90		70 75 80 85	Normal lower gonial angle
Ramus height	49.07	4.9	53.64		40 45 50 55	Normal ramus height
Mandibular Body length	74.97	4.9	77.95		65 70 75 80 85	Normal mandibular body length
Body to Ant. cranial base ratio	1.08	0.0	1.12	***	-10 -5 0 5 10 15	Large mandibular body length relative to cranium
SNA	81.08	3.7	83.01		70 75 80 85 90	Normal A-P position of maxilla
SNB	79.17	3.8	77.18		70 75 80 85 90	Normal A-P position of mandible
ANB	2.46	1.8	5.83	*	-10 -5 0 5 10 15	Skeletal Class II
SN-GoMe	34.29	6.4	35.05		30 35 40	Normodivergent facial pattern
Facial depth(Jarabak)	123.27	5.1	130.48	*	115 120 125 130	Large facial depth(Na-Go distance)
Facial length on Y axis	130.29	7.9	130.55		124 126 128 130 132 134 136	Normal facial length on Y-axis(S-Gn)
Y axis to SN	71.92	3.7	73.42		65 70 75 80	Normodivergent vertical growth pattern
Posterior facial height	82.76	5.3	87.98		75 80 85 90	Normal posterior facial height
Anterior facial height	128.68	6.3	132.14		120 125 130 135	Normal anterior facial height
Facial height ratio(PFH/AFH)	65.3	8.8	66.58		60 62 64 66 68 70	Normodivergent growth pattern
Facial plane(Jarabak)	78.82	4.0	76.70		70 75 80 85	Normal Chin Prominence, Skeletal Class I
FMA	29.63	3.0	26.73		20 25 30 35 40	Normodivergent facial pattern
FMIA	56.77	6.0	44.78	*	45 50 55 60 65	Proclined lower incisor relative upper face
IMPA	91.62	3.2	108.49	***	80 90 100	Proclined lower incisor
Interincisal angle	125.44	9.2	112.04	*	115 120 125 130 135	Proclined incisors, Dentoalveolar protrusion
L1 to mandibular plane	46.4	3.6	36.24	**	35 40 45 50 55	Under-erupted lower incisors
U1 to FH	113.8	6.4	112.75		110 115 120	Normal upper incisor inclination

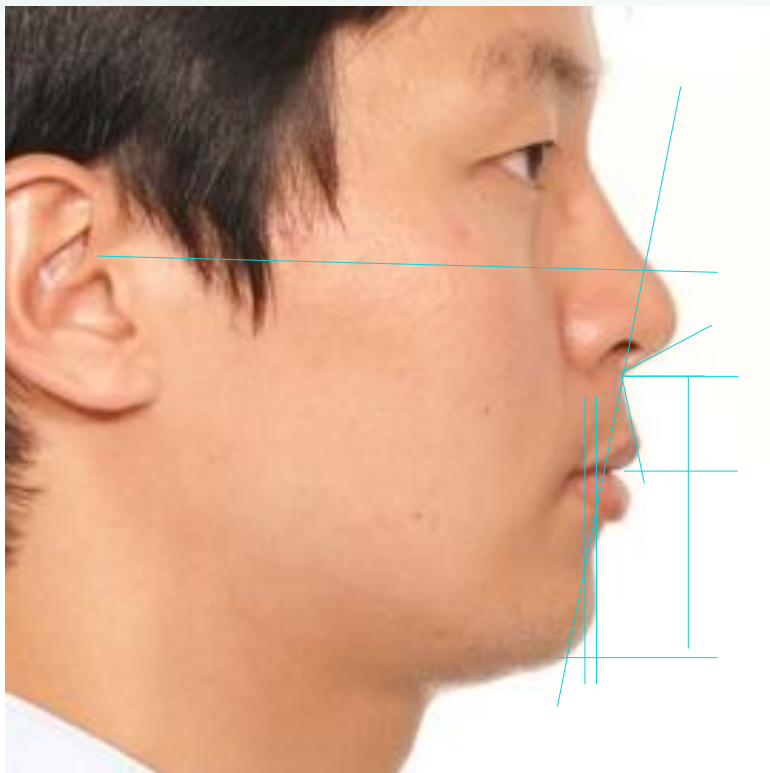
진단 자료 분석 : Cephalometric Analysis



Method I analysis

Measurement	Mean	S.D.	Result	Severity	Polygonal chart	Meaning
Saddle angle	125.45	5.3	123.91			Saddle angle within normal range
Articular angle	147.68	5.3	159.39	**		Obtuse articular angle, Dolichocephalic facial type
Gonial angle	124.31	5.4	111.75	**		Acute gonial angle
Bjork sum	397.16	3.6	395.05			Normodivergent Skeletal Pattern
Anterior cranial base length	69.35	3.6	69.35			Normal anterior cranial base length
Posterior cranial base length	37.68	2.7	35.73			Normal posterior cranial base length
Upper gonial angle	46.2	3.3	37.85	**		Mandible is growing down and backward.
Lower gonial angle	78.04	4.6	73.90			Normal lower gonial angle
Ramus height	49.07	4.9	53.64			Normal ramus height
Mandibular Body length	74.97	4.9	77.95			Normal mandibular body length
Body to Ant. cranial base ratio	1.08	0.0	1.12	***		Large mandibular body length relative to cranium
SNA	81.08	3.7	83.01			Normal A-P position of maxilla
SNB	79.17	3.8	77.18			Normal A-P position of mandible
ANB	2.46	1.8	5.83	*		Skeletal Class II
SN-GoMe	34.29	6.4	35.05			Normodivergent facial pattern
Facial depth(Jarabak)	123.27	5.1	130.48	*		Large facial depth(Na-Go distance)
Facial length on Y axis	130.29	7.9	130.55			Normal facial length on Y-axis(S-Gn)
Y axis to SN	71.92	3.7	73.42			Normodivergent vertical growth pattern
Posterior facial height	82.76	5.3	87.98			Normal posterior facial height
Anterior facial height	128.68	6.3	132.14			Normal anterior facial height
Facial height ratio(PFH/AFH)	65.3	8.8	66.58			Normodivergent growth pattern
Facial plane(Jarabak)	78.82	4.0	76.70			Normal Chin Prominence, Skeletal Class I
FMA	29.63	3.0	26.73			Normodivergent facial pattern
FMIA	56.77	6.0	44.78	*		Proclined lower incisor relative upper face
IMPA	91.62	3.2	108.49	***		Proclined lower incisor
Interincisal angle	125.44	9.2	112.04	*		Proclined incisors, Dentoalveolar protrusion
L1 to mandibular plane	46.4	3.6	36.24	**		Under-erupted lower incisors
U1 to FH	113.8	6.4	112.75			Normal upper incisor inclination

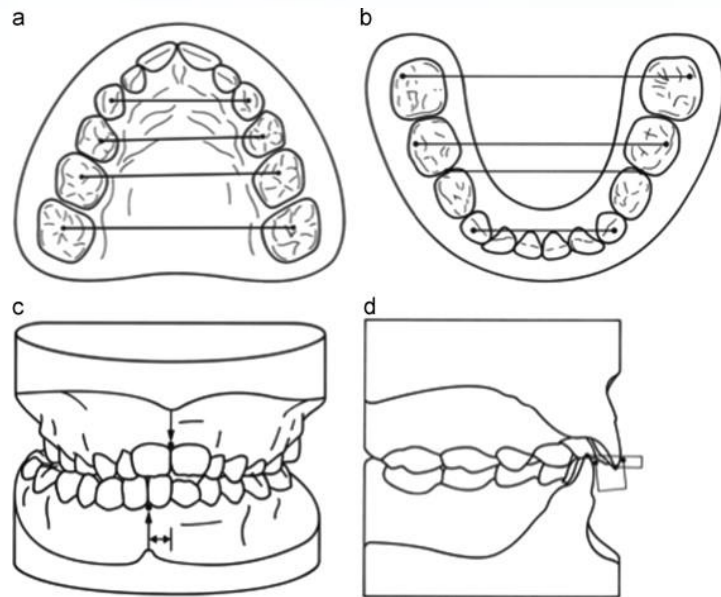
진단 자료 분석: 측모 연조직 분석



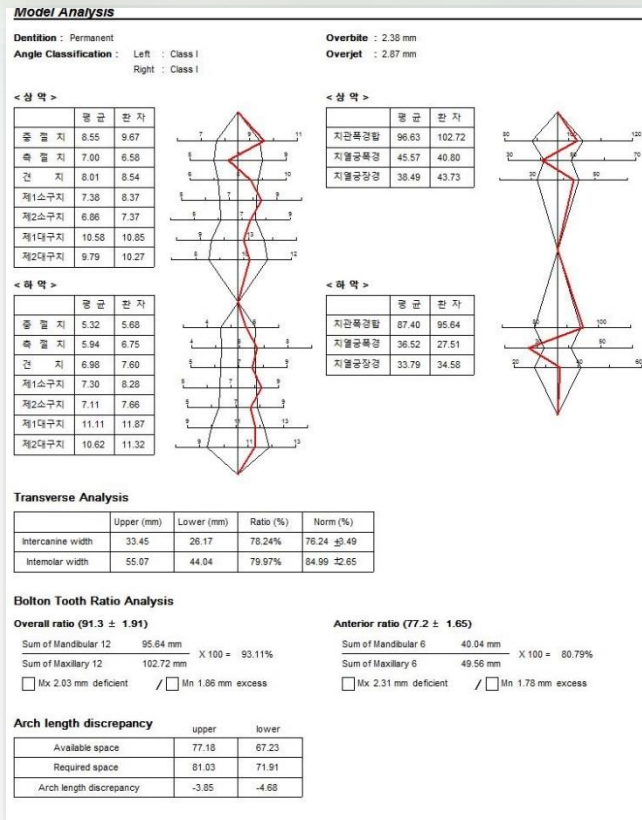
Soft tissue Analysis

1. N'Pog' to FH = 90.5 (91±2)
2. B' to Pog' = 1.8 (1.5)
3. FH to A'B' = 80 (81)
4. Soft tissue prominence to A'B' = 4 : 1.8 : 2.0 : 1.0 (4:2:2:1)
5. Nasolabial angle 19/80 (20/80)
6. Sn – Ustm : LStm – Me = 1:2.0 (1:1.8~2)

진단 자료 분석: 치아 모델 분석



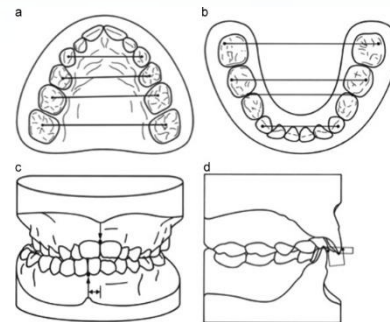
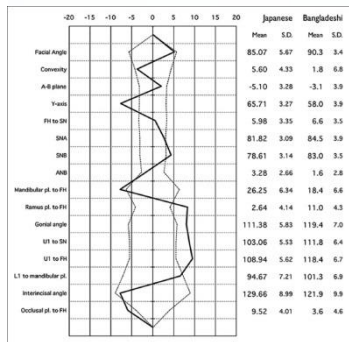
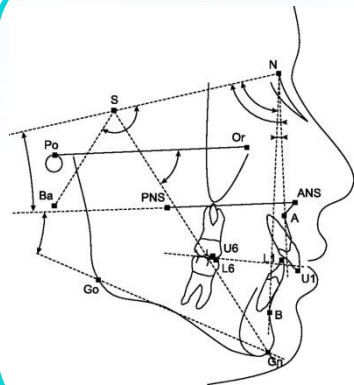
진단 자료 분석: 치아 모델 분석



진단 자료 분석: 임상사진 분석



치료계획 수립



치료계획 수립


교정치료 개시



Cephalometry Analysis using Neural Networks

Article | OPEN | Published: 20 September 2016

Fully Automatic System for Accurate Localisation and Analysis of Cephalometric Landmarks in Lateral Cephalograms

Claudia Lindner, Ching-Wei Wang , Cheng-Ta Huang, Chung-Hsing Li, Sheng-Wei Chang & Tim F. Cootes


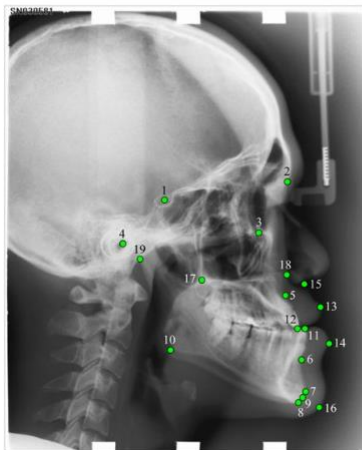
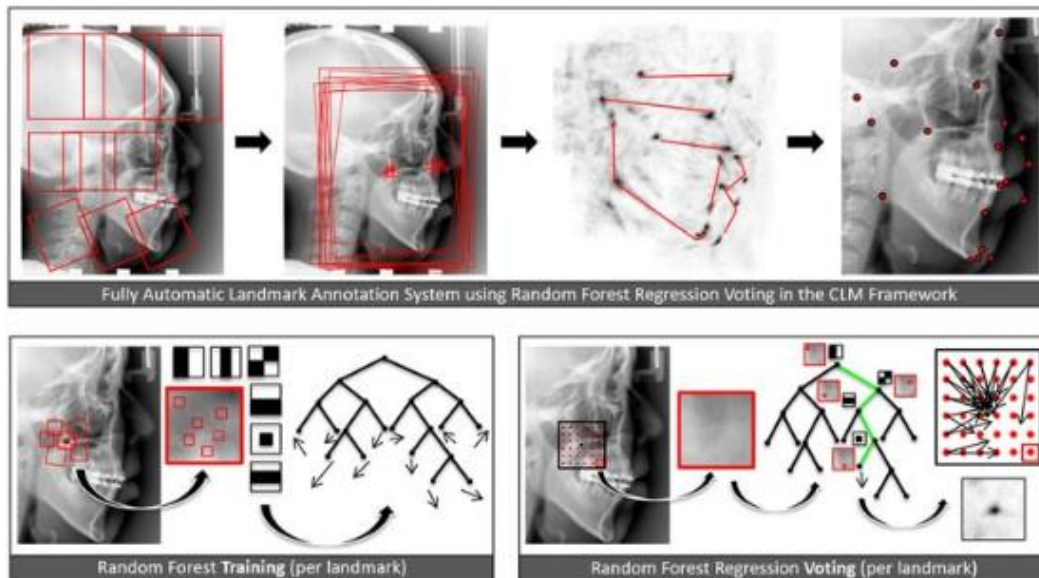
Scientific Reports 6, Article number: 33581 (2016) | [Download Citation](#) 

Figure 1: Cephalogram annotation example showing the 19 landmark positions used in this study.



- L1 Sella
- L2 Nasion
- L3 Orbitale
- L4 Porion
- L5 Subspinale
- L6 Supramentale
- L7 Pogonion
- L8 Menton
- L9 Gnathion
- L10 Gonion
- L11 Incision inferius
- L12 Incision superius
- L13 Upper lip
- L14 Lower lip
- L15 Subnasale
- L16 Soft tissue pogonion
- L17 Posterior nasal spine
- L18 Anterior nasal spine
- L19 Articulare

Figure 2: Schematic overview of the FALA system as described in refs 23 and 25, applied to lateral cephalograms.



Cephalometry Analysis using Neural Networks

Fully automated quantitative cephalometry using convolutional neural networks

Article (PDF Available) · January 2017 with 368 Reads

DOI: 10.1117/1.JMI.4.1.014501

[Cite this publication](#)



Sercan Ö. Arik



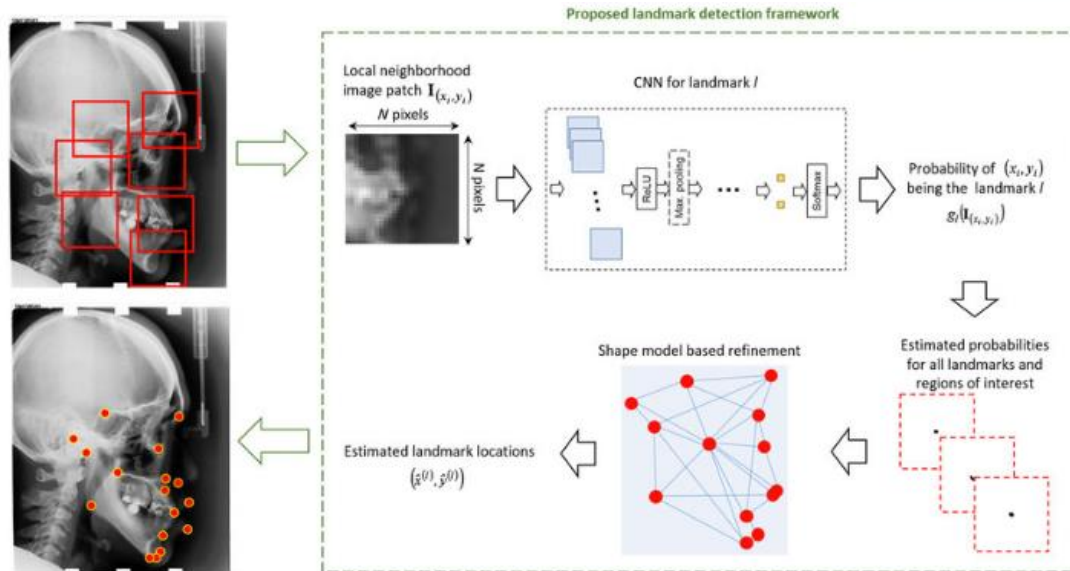
Lei Xing

140.31 · Stanford University



Bulat Ibragimov

126.91 · Stanford University

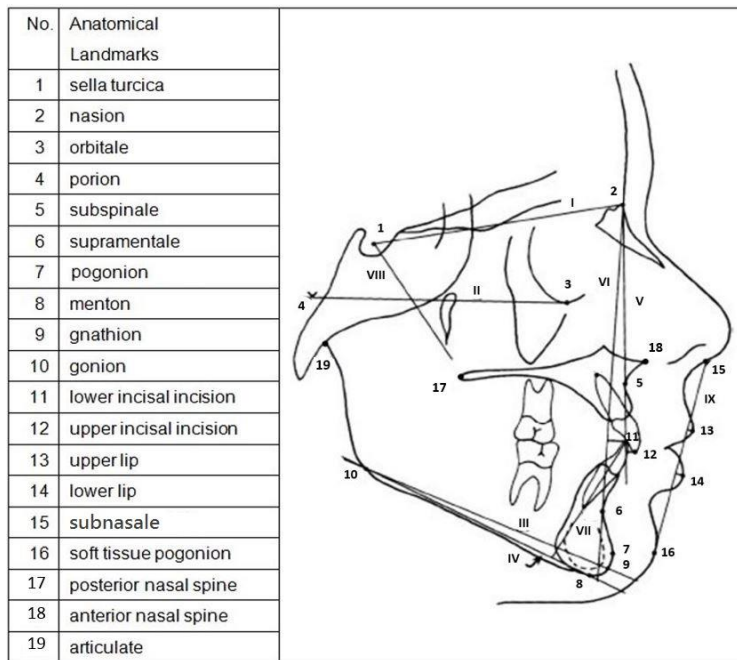


Schematics of the proposed cephalometric landmark detection framework.

Cephalometry Analysis using Neural Networks

Grand Challenges in Dental X-ray Image Analysis

Challenge #1: Automated Detection and Analysis for Diagnosis in Cephalometric X-ray Image



Treatment planning using Machine learning

TECHNO BYTES

AJO-DO

New approach for the diagnosis of extractions with neural network machine learning

Seok-Ki Jung^a and Tae-Woo Kim^b
Ansan and Seoul, Korea

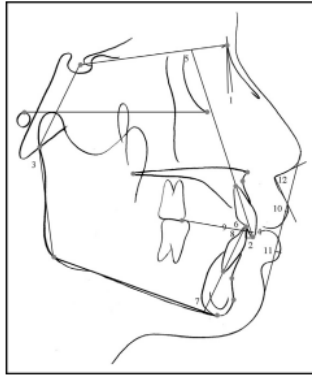


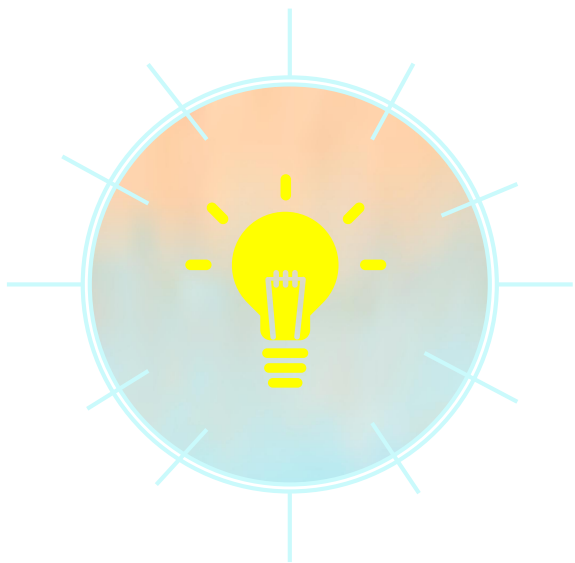
Fig 3. Linear and angular measurements used in this study: 1, ANB angle; 2, overjet; 3, Björk sum; 4, overbite; 5, maxillary central incisor to SN angle; 6, maxillary central incisor to occlusal plane angle; 7, IMPA; 8, mandibular central incisor to occlusal plane angle; 9, interincisal angle; 10, upper lip to E-line; 11, lower lip to E-line; and 12, nasolabial angle.

Table II. Descriptions for the 6 additional indexes

Index	Weighting	Criterion (mm)
Arch length discrepancy		
Spacing	0	ALD > 0
Normal	0.25	-1 < ALD ≤ 0
Mild crowding	0.5	-3 < ALD ≤ -1
Moderate crowding	0.75	-5 < ALD ≤ -3
Severe crowding	1	ALD ≤ -5
Molar key		
Class III key	0	
Super Class I key	0.25	
Class I key	0.5	
End-on key	0.75	
Class II key	1	
Large overjet		
Not severe	0	Overjet ≤ 5
Severe	1	Overjet > 5
Protrusion		
Concave profile	0	
Normal profile	0.25	
Mild protrusion	0.5	
Moderate protrusion	0.75	
Severe protrusion	1	
Chief complaint for protrusion		
No protrusion in chief complaint	0	
Protrusion in chief complaint	1	
ALD, Arch length discrepancy.		

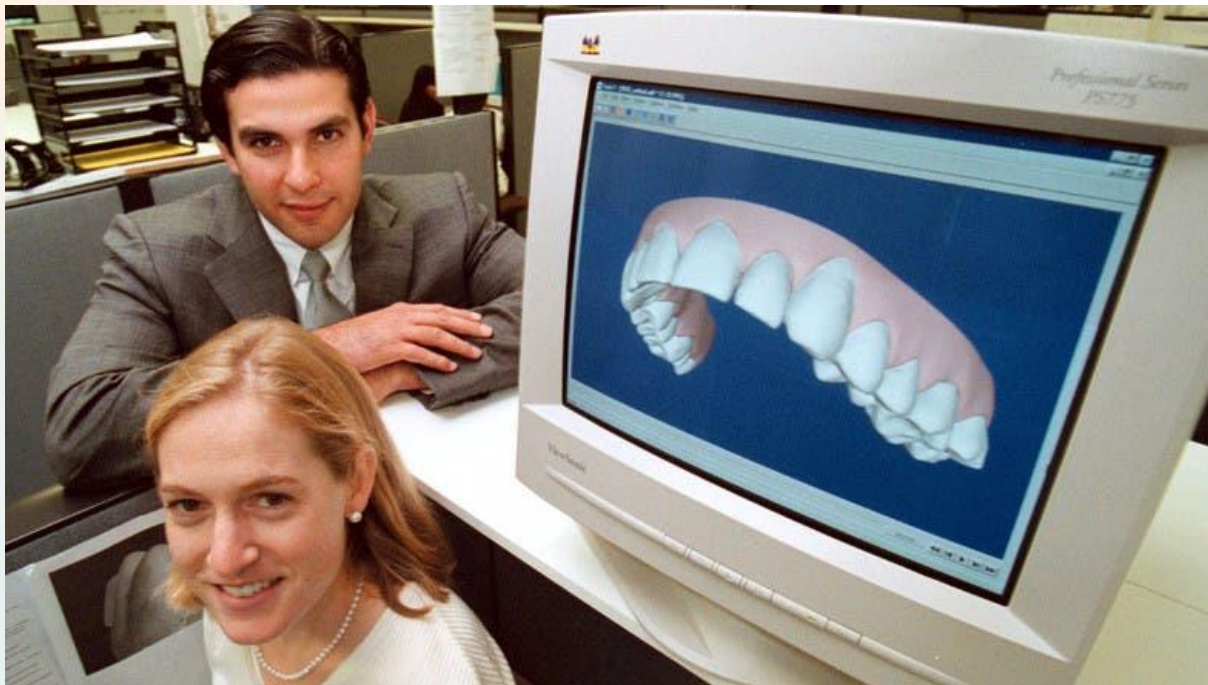
CONCLUSIONS

As a result of making models for the diagnosis of extractions with neural network machine learning, the success rates of the classifiers were 93% for the diagnosis of extraction vs nonextraction and 84% for the detailed diagnosis of the extraction patterns in total. This study suggests that artificially intelligence expert systems with neural network machine learning could be a new approach in orthodontics.



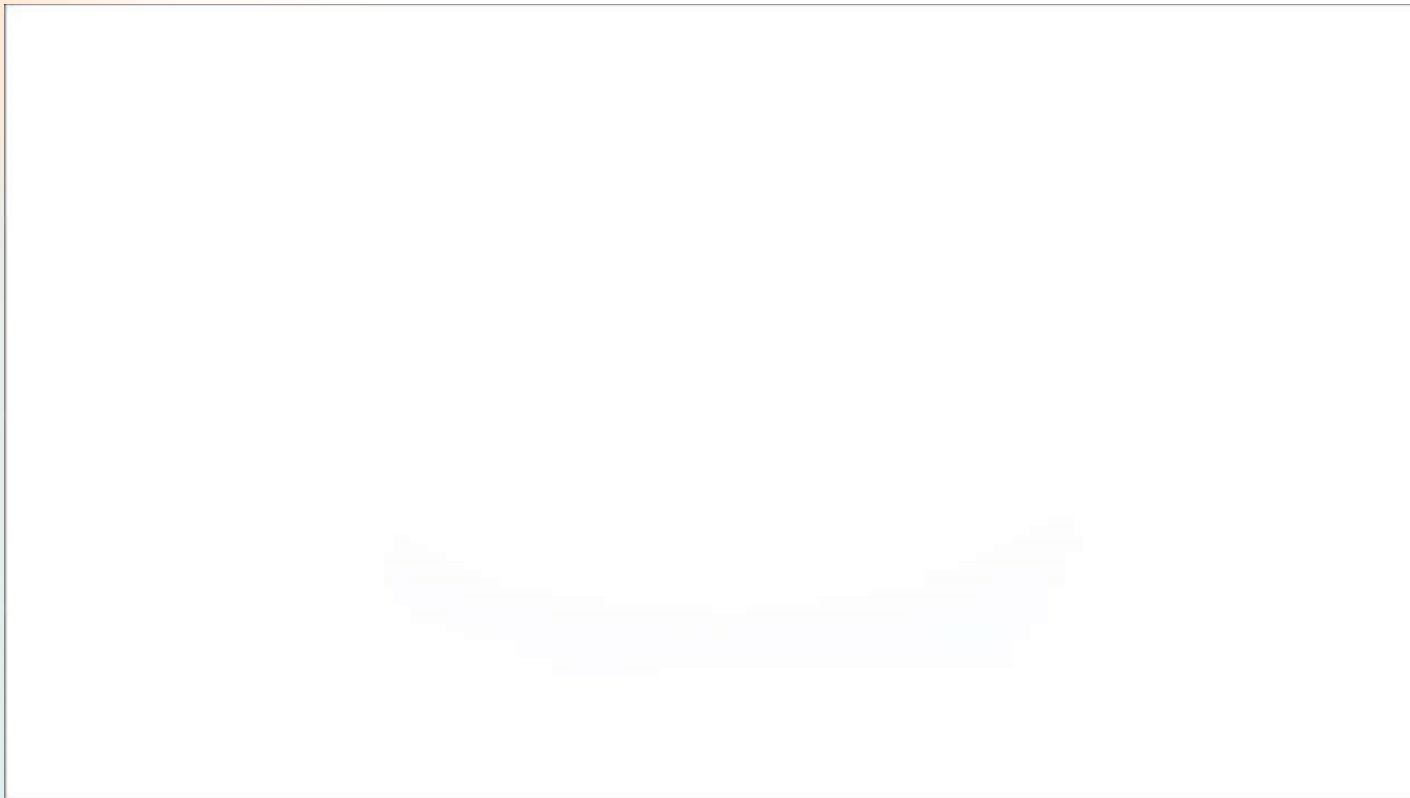
혁신은 누가 하는가?

교정치료환자가 교정시장 전체를 혁신하다.



Align Technology사의 창업자인 Zia Chishti와 Kelsey Wirth(출처: google.com)

교정치료환자가 교정시장 전체를 혁신하다.



투명 교정 장치의 급부상



얼라인테크놀로지

NASDAQ: ALGN

+ 팔로우

284.35 USD -12.33 (4.16%) ↓

폐장: 5월 31일 오후 4:57 GMT-4 · 면책조항

폐장 후 284.35 0.00 (0.00%)

1일 5일 1개월 6개월 YTD 1년 5년 최대



시가	277.88	배당수익률	-
최고	289.61	전일 증가	296.68
최저	272.60	52-주 최고	398.88
시가총액	227.49억	52-주 최저	177.92
주가수익률	61.31		

문제의식



수작업에 의존하는 자료 분석 방식

방사선 사진 및 임상사진 계측을 육안으로 보고 손으로 직접 탐침을 해야함.



진단 분석 시 장소의 제약

프로그램이 설치된 원장실에서만 진단이 가능함.



환자수와 무관한 고가의 프로그램

한 명의 환자를 보더라도 프로그램 가격은 수 백 만원 이상



환자-치과의사-기공사 원시적 정보전달

핵심 교정시장의 참여자간 정보 이동의 플랫폼 부재



초거대 기공소에 의해 시장 독점화

독보적인 초거대 기업에 의해 투명교정 시장 독점됨. 영세 기공소는 시장 소외.

요구 조건

1

웹 기반 프로그램

2

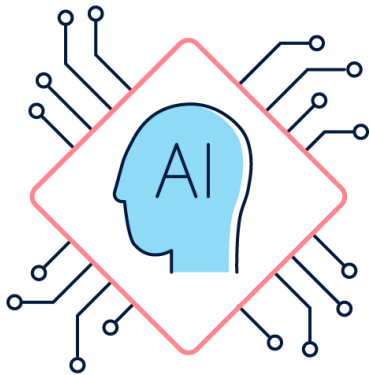
인공지능 기술을 사용할 것

3

사용하기 매우 쉬울 것

4

환자, 치과의사, 기공사가 참여할 수 있는 플랫폼



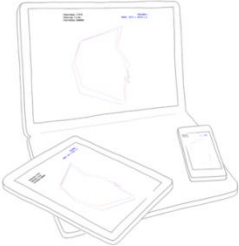
개발 스토리

: 덕질의 시작

기획자료 및 개발 초안

2014년 4월 (레지던트 2년차) : OrthodonticGuru 기획안 작성

ORTHODONTICGURU



ORTHODONTICGURU
"Cloud service for orthodontist."

☐ I agree to OrthodonticGuru's user agreement.

Sign in

or Log-in

[See more](#)

Patient 1				
Sub Menu2				
Sub Menu3				
Sub Menu4				
name	Sex	Age	Do. date	Note
In Hwan	Female	19Y 5M	2014-05-15	Class II
In Hyeok	Male	20Y 2M	2014-05-14	Class I
In Hwan	Male	11Y 5M	2014-05-13	Class III
In Tae Il	Male	21Y 8M	2014-05-13	Class I
In Hyeok	Male	8Y 8M	2014-05-12	Class I
Chart				
2012-05-18	Upper: Bonding - Damon Q 013 CuNiTi			
2012-06-18	Lower: Bonding - Damon Q 013 CuNiTi			
2012-08-20	Wire change 018 CuNiTi			
2012-10-24	Wire change 016 x 025 CuNiTi			
8 7 6 5 4 3 2 1	1 2 3 4 5 6 7 8	Space Closure: memory chain (AO)		Write
8 7 6 5 4 3 2 1	1 2 3 4 5 6 7 8			

Chart

Profilegram

Superimposition

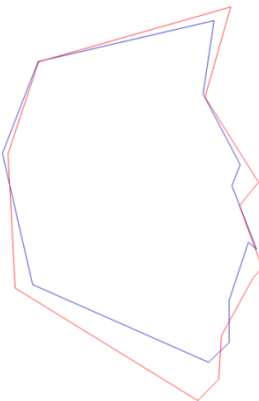
VTO

E-mail

Password

Average

Patient



Patient info

Name:

Age:

Sex:

Birth:

Address:

Chief Complaint

CONSULT

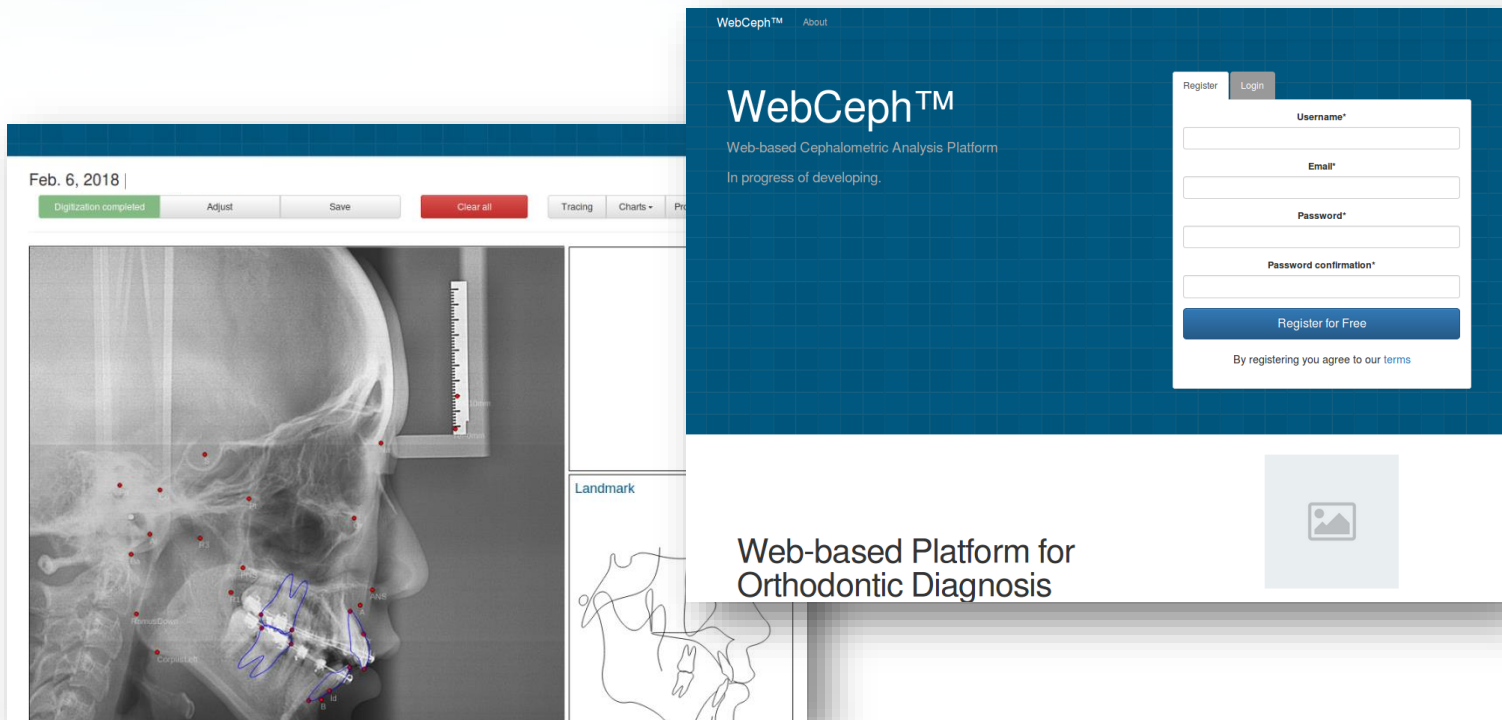
프로토타입 개발

2015년 (레지던트 3년차): WebCeph으로 제품명 확정 후 웹기반 계측프로그램 런칭



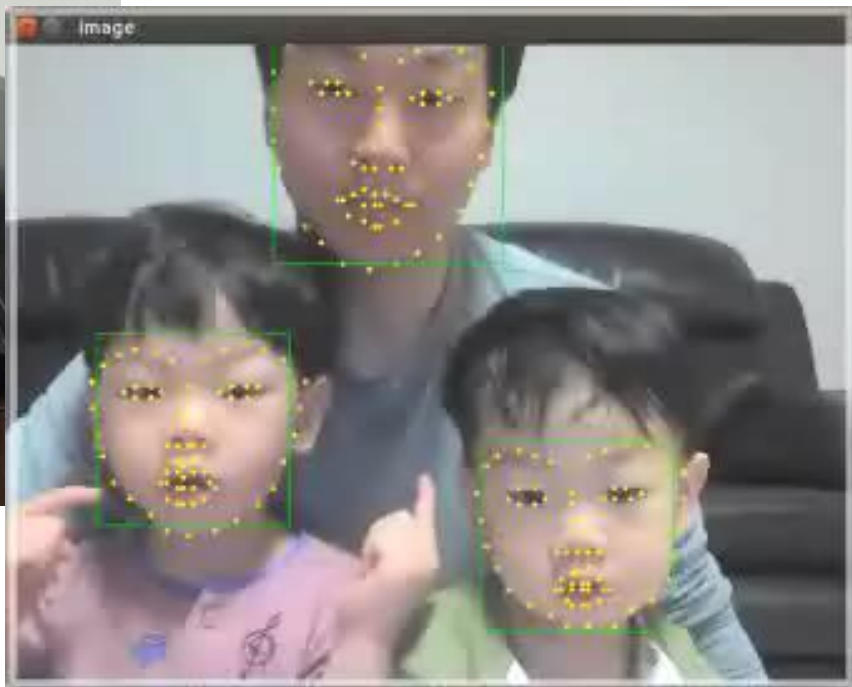
개발 중단

2016 - 2017년 (펠로우 시절, 개원 초기) : 개발 중단

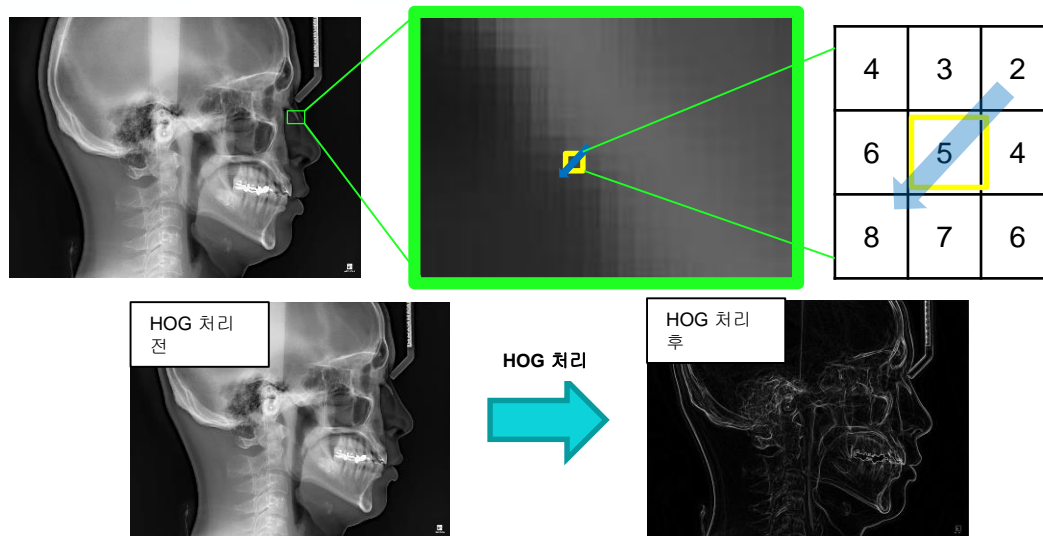


Machine Learning 친숙해지려고 시도

2018년 (개원 2년 차): Facial Landmark Detection으로 집에서 아들과 가지고 놀기



Cephalo-image 훈련 자료 생성



Cephalo-image 훈련 자료 생성

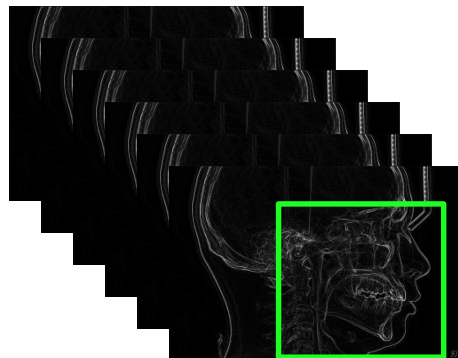
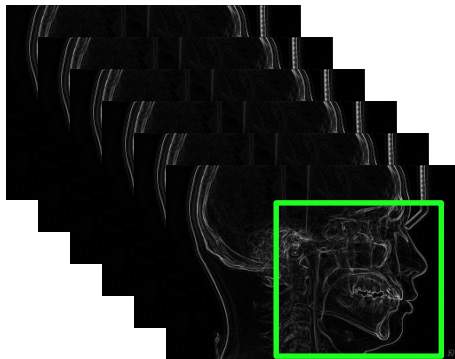
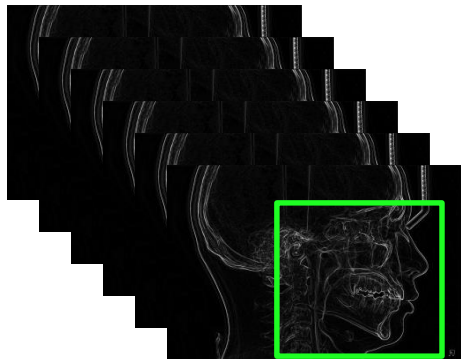


.xml

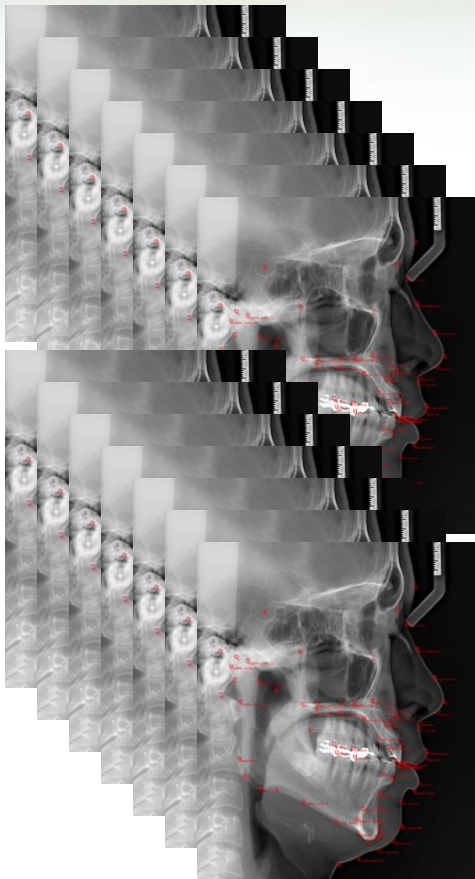
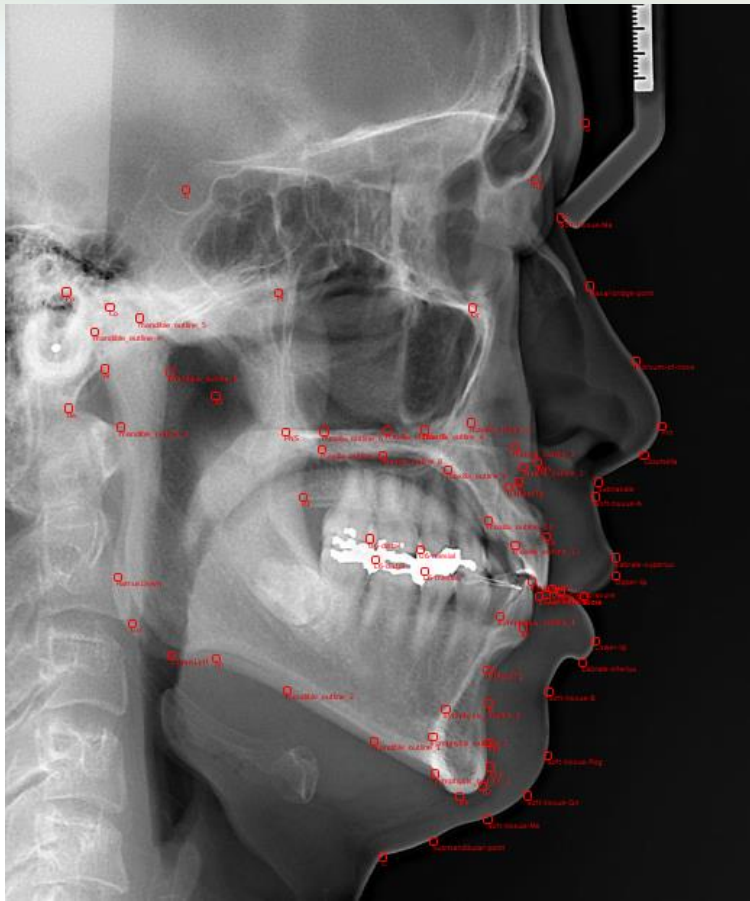
```
<?xml version='1.0' encoding='ISO-8859-1'?>
<?xml-stylesheet type='text/xsl' href='image_metadata_stylesheet.xsl'?>
<dataset>
  <image file='images/00001.jpg'>
    <box top='176' left='932' width='2110' height='2125'>
      <box>
        <image>
          <image file='images/00002.jpg'>
            <box top='206' left='976' width='1961' height='2095'>
              <box>
                <image file='images/00003.jpg'>
                  <box top='221' left='925' width='2019' height='2080'>
                    <box>
                      <image file='images/00006.jpg'>
                        <box top='204' left='966' width='1929' height='2097'>
                          <box>
                            <image>
                          </box>
                        </image>
                      </box>
                    </box>
                  </image>
                </box>
              </image>
            </box>
          </image>
        </box>
      </box>
    </image>
  </dataset>
```



옆얼굴 위치정보와 해부학적 계층정보가 담긴 인공지능 훈련용 데이터



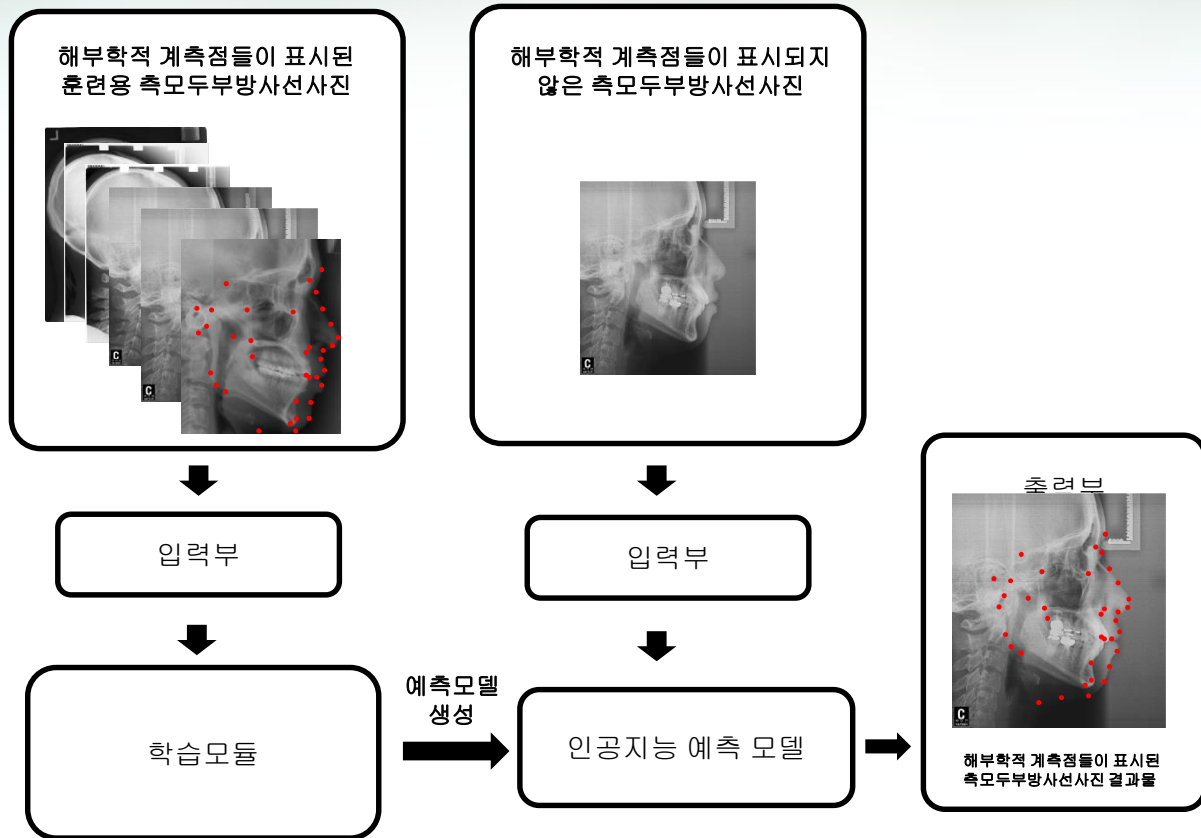
Cephalo-image 훈련 자료 생성



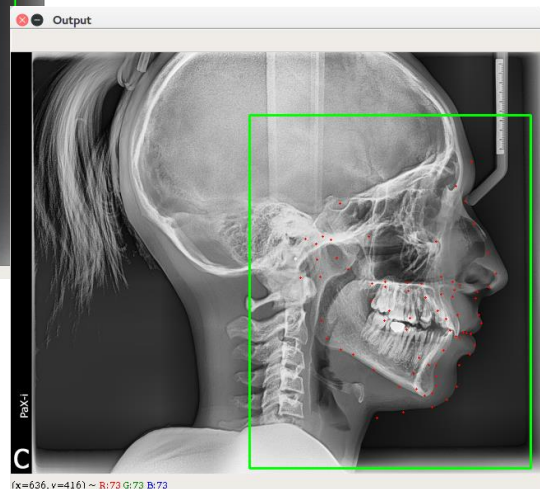
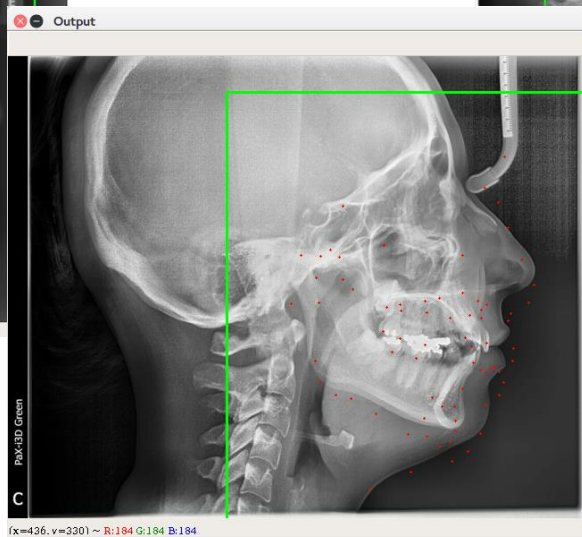
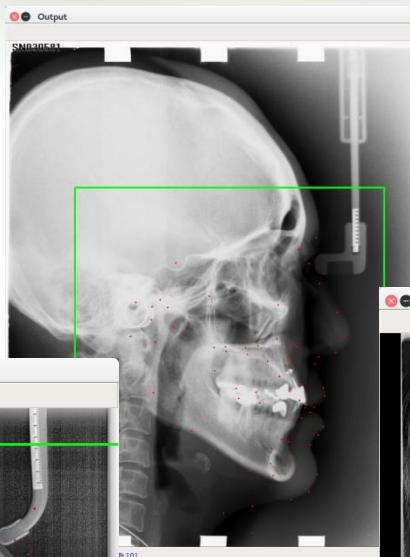
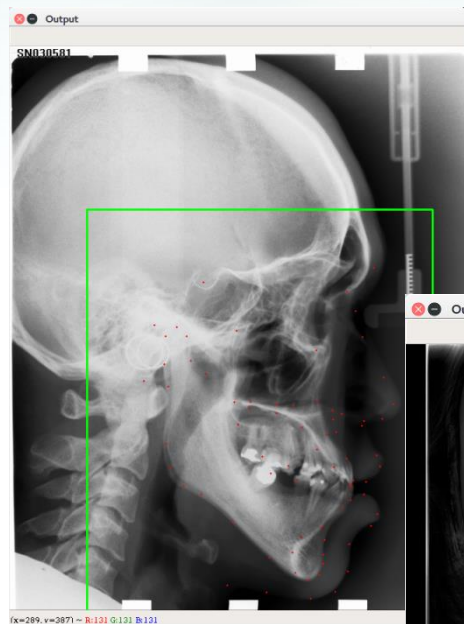
.xml

```
<?xml version='1.0' encoding='ISO-8859-1'?>
<?xml-stylesheet type='text/xsl' href='image_metadata_stylesheets.xsl'?>
<dataset>
<images>
<image file='images/00001.jpg'>
<box top='176' left='932' width='2110' height='2125'>
</box>
</image>
<image file='images/00002.jpg'>
<box top='206' left='376' width='1961' height='2095'>
</box>
</image>
<image file='images/00003.jpg'>
<box top='221' left='325' width='2019' height='2080'>
</box>
</image>
<image file='images/00006.jpg'>
<box top='204' left='966' width='1929' height='2097'>
</box>
</image>
</images></dataset>
```

Cephalo-image 훈련 자료 생성



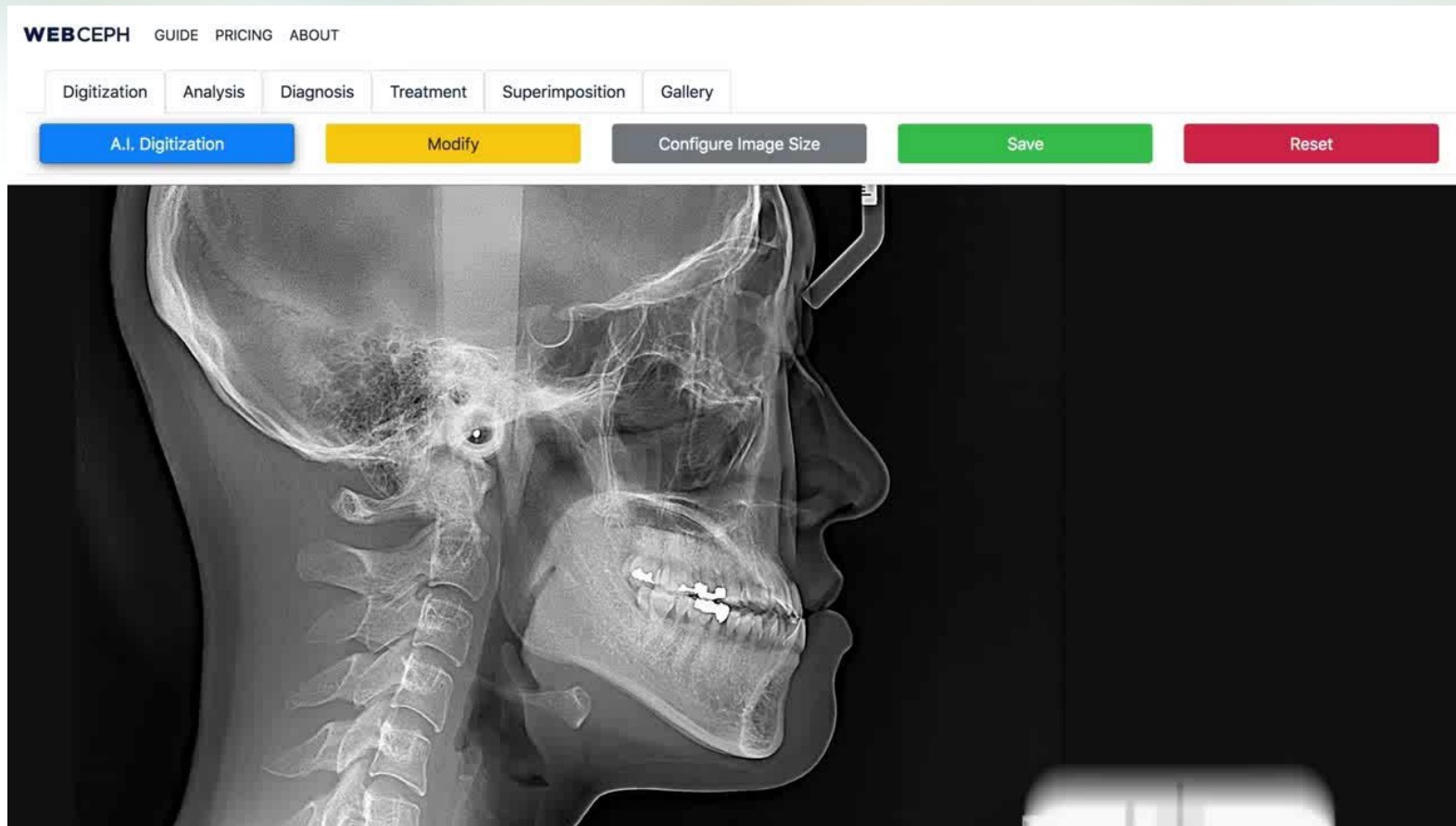
Machine Learning 결과 테스트



알파 테스터 버전 개발





베타 테스터 버전 개발



webceph.com 런칭

WEBCEPH GUIDE PRICING ABOUT

us English Log in Sign up



Artificial Intelligence Orthodontic Platform

Trace cephalogram in seconds.
A.I. analyzes cephalogram automatically!
Free to use while being developed!

Join Now » Log in

New Feature of WebCeph (Cephalogram) Surgery Case



Step 1. Upload Lateral Facial Photo.

Visual Treatment Simulation

Visualize orthodontic treatment.
Visualize orthognathic surgery, also.
Save your time with automatic superimposition.

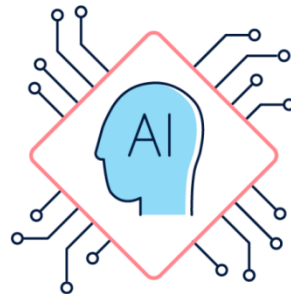


Web-based Orthodontic Platform

Just join! That's all you need to do!
Accessible from anywhere in the world.
Check clinical records wherever you are.

Artificial Intelligence Technology



A.I. of WebCeph has been trained by skilled orthodontists.
Accuracy of WebCeph continues to improve.
Trace and analyze cephalogram at the state of art accuracy.



webceph.com 런칭

WEBCEPH 사용방법 가격정책 소개

KR 한국어 로그인 회원가입

인공지능 교정진단 플랫폼

몇 초 안에 세팔로 트레이싱이 완료됩니다.
인공지능이 모든 분석을 자동으로 해줍니다.
개발기간 동안 무료로 사용해 보세요.

회원가입 로그인

WEBCEPH 使用方法 价格政策 关于我们

CN 简体中文 登录 免费注册




人工智能牙齿矫正平台

几秒钟内完成测颅描头术分析。
通过人工智能来实现分析。
开发期间可免费使用。

免费注册 登录

New Feature of WebCeph(Cephalo)



Step 1. Upload Lateral Facial Photo.

치료 시뮬레이션 기능

교정 치료결과를 시뮬레이션 할 수 있습니다.
그리고, 악교정수술도 시뮬레이션 가능합니다.
임상사진을 자동중첩하여 진단시간을 단축시켜줍니다.

New Feature of WebCeph(Cephalo)



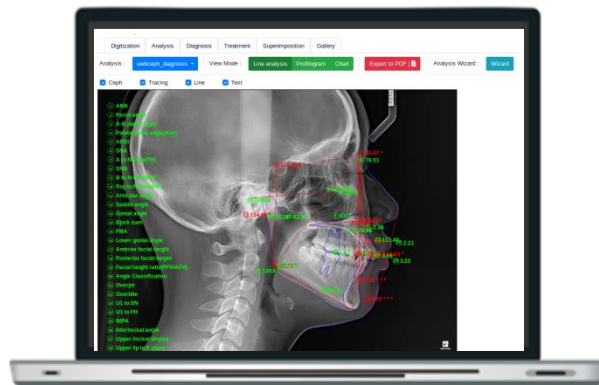
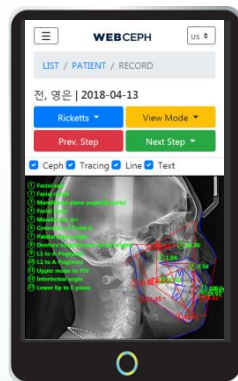
Step 1. Upload Lateral Facial Photo.

牙齿矫正治疗视觉化模拟

可模拟牙齿矫正治疗。
另外,可以模拟两颗手术。
人工智能可以通过自动叠加上来节省时间。

앞으로의 비전

“온라인 인공지능 치아교정 통합 플랫폼”





Thank You!!

경청해주셔서 감사드립니다.

앞으로도 많은 교류를 하길

희망합니다.